

УДК 621.372.413

С. В. Савелькаев, В. С. Айрапетян

*Сибирская государственная геодезическая академия  
ул. Плеханова, 10, Новосибирск, 630108, РФ**v.s.ayrapetyan@ssga.ru*

## МЕТОДИКА РАСЧЕТА РЕЗОНАНСНОЙ ЧАСТОТЫ МНОГОСЛОЙНОЙ ДИЭЛЕКТРИЧЕСКОЙ СТРУКТУРЫ НА ОСНОВЕ ТЕОРИИ ЦЕПЕЙ

Предложена методика расчета резонансной частоты многослойной диэлектрической структуры на основе теории цепей, позволяющая, в сравнении с электродинамическими методами, наиболее просто определить систему ее характеристических уравнений.

*Ключевые слова:* многослойная диэлектрическая структура, диэлектрический резонатор, резонансная частота, система характеристических уравнений.

### Введение

В настоящее время в качестве резонансных систем в фильтрах и автогенераторах СВЧ нашли широкое применение многослойные диэлектрические структуры (МДС) [1–4]. Это обусловлено их высокой термостабильностью и добротностью, а также их малыми размерами. Расчет резонансной частоты МДС [3; 4] на основе традиционных электродинамических методов [1; 2] громоздок и при числе слоев МДС  $m > 3$  малопригоден в инженерных расчетах.

В работе предложена методика расчета резонансной частоты основного  $H_{018}$ -типа колебаний МДС на основе теории цепей, позволяющая наиболее просто, по сравнению с электродинамическими методами, определить систему ее характеристических уравнений.

### Методика

Представим МДС в виде длинной линии с диаметром  $D_r$ , ограниченную магнитной

стенкой  $S$  и замкнутую с двух сторон металлическими экранами, как показано на рис. 1. Для нахождения системы характеристических уравнений, устанавливающих связь между продольными волновыми числами  $\beta_{iz}$  в ее частичных областях  $i = 1, 2, \dots, m$ , принадлежащих внутренней полости I магнитной стенки  $S$ , будем исходить из условия резонанса

$$Y_1(k-k) + Y_2(k-k) = 0, \quad (1)$$

где  $Y_1(k-k)$  и  $Y_2(k-k)$  – входная проводимость нагруженной линии соответственно справа и слева от сечения  $k-k$ , проходящего через середину резонансного слоя, в качестве которого используют диэлектрический резонатор (ДР) с относительной диэлектрической проницаемостью  $\epsilon_k \geq 40-80$ .

В общем случае входную проводимость  $Y(s_i)$   $i$ -й частичной области рассматриваемой линии можно определить из формулы трансформации сопротивлений [5]

*Савелькаев С. В., Айрапетян В. С. Методика расчета резонансной частоты многослойной диэлектрической структуры на основе теории цепей // Вестн. Новосиб. гос. ун-та. Серия: Физика. 2014. Т. 9, вып. 1. С. 6–9.*

$$Y(s_i) = Y_i \frac{Y_{i-1} + jY_i \operatorname{tg} \beta_{iz} s_i}{Y_i + jY_{i-1} \operatorname{tg} \beta_{iz} s_i}, \quad (2)$$

где  $Y_i$  – проводимость  $i$ -й частичной области, нагруженной на нагрузку с проводимостью  $Y_{i-1}$ ;  $s_i$  – толщина этой  $i$ -й частичной области;  $\beta_{iz}$  – ее продольное волновое число

$$\beta_{iz} = (\beta_0^2 \varepsilon_i - \beta^2)^{1/2}; \quad (3)$$

$\beta_0 = \omega(\varepsilon_0 \mu_0)^{1/2} = 2\pi/\lambda_0$  – волновое число в свободном пространстве с диэлектрической и магнитной проницаемостью  $\varepsilon_0$  и  $\mu_0$ ;  $\omega = 2\pi f$  – круговая частота основного  $H_{018}$ -типа колебаний;  $\lambda_0 = c/f$  – длина волны в свободном пространстве;  $c$  – скорость света в вакууме;  $\varepsilon_i$  – относительная диэлектрическая проницаемость  $i$ -й частичной области;  $\beta$  – эффективное внутреннее поперечное волновое число

$$\beta = 2\chi_{mn}/D_r \quad (4)$$

во внутренней полости I магнитной стенки  $S$ ;  $\chi_{mn}$  – корни функции Бесселя  $J_m(p/2)$  или Макдональда  $K_m(s/2)$  первого рода порядка  $m = 0, 1$ .

Для запредельной  $i$ -й частичной области, поле в которой распространяться не может и затухает по экспоненциальному закону, справедлива замена

$$\begin{aligned} \beta_{iz} &\rightarrow -j\beta_{iz}, \\ \operatorname{tg} \beta_{iz} s_i &\rightarrow -j \operatorname{th} \beta_{iz} s_i, \\ j &= \sqrt{-1}, \end{aligned}$$

при которой продольное волновое число  $\beta_{iz}$  определяется из (3) с перестановкой вида  $\beta_0^2 \varepsilon_i \leftrightarrow \beta^2$ .

Используя (2) с учетом (5), а также учитывая, что входная проводимость линии без потерь связана с ее волновым сопротивлением выражением  $Y_w = Z_w^{-1} = \beta_z/\omega\mu_0$ , определим входную проводимость

$$Y_1(k-k) = j \frac{\beta_{kz}}{\omega\mu_0} \frac{\beta_{k-1z} G_{k-1} + (-1)^q \beta_{kz} L_k}{\beta_{kz} + \beta_{k-1z} G_{k-1} L_k} \quad (5)$$

справа от сечения  $k-k$  при последовательном включении частичных областей  $i = 1, \dots, k$ , первая из которых нагружена на короткозамкнутую нагрузку в виде левого металлического экрана, как показано на рис. 1, где

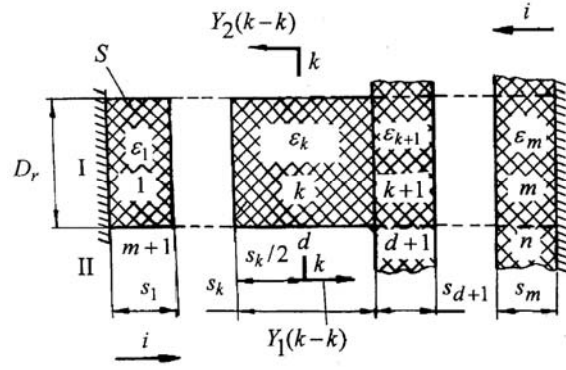


Рис. 1. Модель многослойной МДС

$$\begin{aligned} G_1 &= 1/\operatorname{th} \beta_{1z} s_1, \\ G_i &= \frac{\beta_{i-1z} G_{i-1} + (-1)^q \beta_{iz} L_i}{\beta_{iz} + \beta_{i-1z} G_{i-1} L_i}, \quad (6) \\ &i = 2, \dots, k-1, \quad i \neq k, \end{aligned}$$

$$L_i = \begin{cases} \operatorname{tg} \beta_{iz} s_i & \text{и } q = 1 \text{ для вещественного } \beta_{iz} \\ \operatorname{th} \beta_{iz} s_i & \text{и } q = 2 \text{ для мнимого } \beta_{iz} = -j\beta_{iz} \end{cases},$$

$i = 2, \dots, m-1.$

Аналогичным образом можно определить входную проводимость

$$Y_2(k-k) = j \frac{\beta_{kz}}{\omega\mu_0} \frac{\beta_{k+1z} G_{k+1} + (-1)^q \beta_{kz} L_k}{\beta_{kz} + \beta_{k+1z} G_{k+1} L_k}$$

слева от сечения  $k-k$ , где

$$\begin{aligned} G_m &= 1/\operatorname{th} \beta_{mz} s_m, \\ G_i &= \frac{\beta_{i+1z} G_{i+1} + (-1)^q \beta_{iz} L_i}{\beta_{iz} + \beta_{i+1z} G_{i+1} L_i}, \quad (7) \\ &i = k-1, \dots, m-1, \quad i \neq k, \end{aligned}$$

При исключении магнитной стенки  $S$  связь между эффективными внутренним  $\beta$  (4) и внешним  $g = (\beta_0^2(\varepsilon_2 - 1) - \beta^2)^{1/2}$  поперечными волновыми числами частичных областей  $i = k, d$  во внутренней I и внешней II полости магнитной стенки устанавливается равенством

$$Y_1(r) = Y_2(r), \quad (8)$$

где  $Y_1(r)$  и  $Y_2(r)$  – поперечные проводимости

$$\begin{aligned} Y_1(r) &= \frac{\beta}{j\omega\mu_c} \frac{J_0(\beta r)}{J_1(\beta r)}, \\ Y_2(r) &= \frac{g}{j\omega\mu_c} \frac{H_0^{(2)}(gr)}{H_0^{(2)}(gr)} \end{aligned}$$

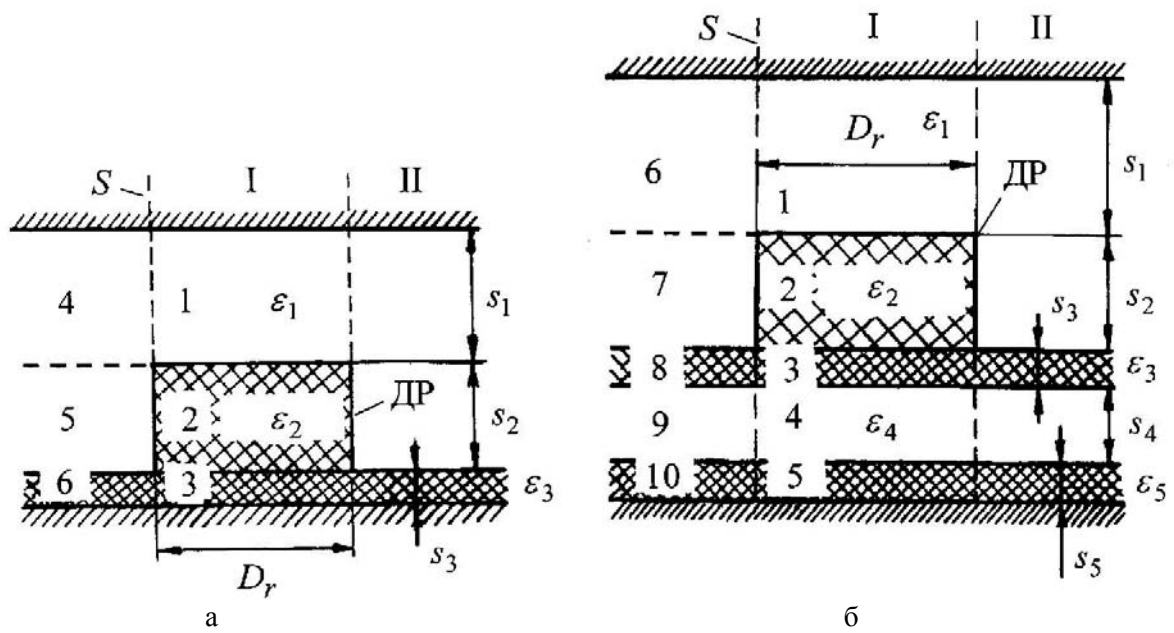


Рис. 2. Конструкции многослойных МДС с ДР:  
а – трехслойной  $m = 3$ ; б – пятислойной  $m = 5$

частичных областей  $i = k, d$ , где  $\mu_c = \mu_0 \mu_i$  и  $\varepsilon_c = \varepsilon_0 \varepsilon_i$ ;  $\mu_i$  – магнитная проницаемость частичных областей  $i = k, d$ .

Поле в частичных областях  $i = m + 1, \dots, d + 1, \dots, n$ ,  $i \neq d$  ввиду малости в них его концентрации пренебрегаем.

Используя уравнения резонанса (1) в сечении  $k-k$ , а также равенство поперечных проводимостей  $Y_{I,II}(r)$  (8) частичных областей  $i = k, d$  на поверхности  $S$  при  $r = D_r/2$ , получим следующую обобщенную систему характеристических уравнений:

$$\begin{aligned} & (\beta_{kz} + \beta_{k-1z} G_{k-1} L_k) (\beta_{k+1z} G_{k+1} - \beta_{kz} L_k) + \\ & + (\beta_{kz} + \beta_{k+1z} G_{k+1} L_k) \times \\ & \times (\beta_{k-1z} G_{k-1} - \beta_{kz} L_k) = 0, \quad (9) \\ & p H_1^{(2)}(s/2) J_0(p/2) = \\ & = s H_1^{(2)}(s/2) J_1(p/2) = 0, \end{aligned}$$

устанавливающую связь между продольными  $\beta_{iz}$  и приведенными внутренним  $p = \beta D_r = 2\chi_{mn}$  и внешним  $s = g D_r$  волновыми числами МДС, где  $H_m^{(2)}(s/2)$  – функция Ганкеля второго рода порядка  $m = 0, 1$ .

Последнее уравнение (9) может быть выражено через наиболее распространенные

цилиндрические функции  $K_m(s/2)$  Макдональда

$$p K_1(s/2) J_0(p/2) = s K_0(s/2) J_1(p/2) = 0$$

порядка  $m = 0, 1$  [1; 3].

Решение системы характеристических уравнений (9) численными методами позволяет рассчитать резонансную частоту  $f_0 = \beta_0 c / 2\pi$  основного  $H_{01\delta}$  типа колебаний МДС как функцию от  $\beta_0$ .

### Практическое применение методики

На рис. 2 приведены конструкции наиболее распространенных МДС [1–4].

Каждая из рассматриваемых МДС представляет собой плоскопараллельный экран в виде двух металлических плоскостей – верхнего и нижнего экранов. Между экранами на диэлектрической подложке с диэлектрической проницаемостью  $\varepsilon_3$  и толщиной  $s_3$  размещен ДР с диэлектрической проницаемостью  $\varepsilon_2$ , диаметром  $D_r$  и высотой  $L_r = s_2$ , как показано на рис. 2.

Диэлектрическая подложка, на которой размещен ДР у МДС, показанной на рис. 2, а, установлена непосредственно на нижнем экране, а на рис. 2, б – подвешена. Пере-

стройку резонансной частоты  $f_0$  в сторону ее увеличения у МДС, показанной на рис. 2, а, можно осуществить посредством приближения к ДР верхнего экрана, а на рис. 2, б – приближением верхнего и нижнего. Диапазон перестройки  $\Delta f_0$  резонансной частоты  $f_0$  МДС, показанной на рис. 2, б, в сравнении с МДС, показанной на рис. 2, а, в 1–1,5 раза больше, а добротность  $Q_H$  – на 5–10 % выше.

Используя обобщенную систему характеристических уравнений (9) и формулы (6), (7), можно записать систему характеристических уравнений рассматриваемых МДС в виде

$$\begin{aligned} & (\beta_{2z} + \beta_{1z}G_1L_2)(\beta_{3z}G_3 - \beta_{2z}L_2) + \\ & + (\beta_{2z} + \beta_{3z}G_3L_2)(\beta_{1z}G_1 - \beta_{2z}L_2) = 0; \\ & pH_1^{(2)}(s/2)J_0(p/2) = \\ & = sH_0^{(2)}(s/2)J_1(p/2) = 0, \end{aligned} \quad (10)$$

где для МДС, показанной на рис. 2, а:

$$\beta_{1z} = (\beta^2 - \beta_0^2\epsilon_1)^{1/2}; \quad \beta_{2z} = (\beta_0^2\epsilon_2 - \beta^2)^{1/2};$$

$$\beta_{3z} = (\beta^2 - \beta_0^2\epsilon_3)^{1/2};$$

$$G_1 = 1/\text{th} \beta_{1z}s_1; \quad G_3 = 1/\text{th} \beta_{3z}s_3;$$

$$L_2 = \text{tg} \beta_{2z}s_2/2;$$

для МДС, показанной на рис. 2, б:

$$\beta_{1z} = \beta_{4z}(\beta^2 - \beta_0^2\epsilon_1)^{1/2}; \quad \beta_{2z} = (\beta_0^2\epsilon_2 - \beta^2)^{1/2};$$

$$\beta_{3z} = (\beta^2 - \beta_0^2\epsilon_3)^{1/2}; \quad \beta_{5z} = (\beta^2 - \beta_0^2\epsilon_5)^{1/2};$$

$$G_1 = 1/\text{th} \beta_{1z}s_1; \quad G_3 = \frac{\beta_{4z}G_4 + \beta_{3z}L_3}{\beta_{3z} + \beta_{4z}G_4L_3};$$

$$G_4 = \frac{\beta_{5z}G_5 + \beta_{4z}L_4}{\beta_{4z} + \beta_{5z}G_5L_4}; \quad G_5 = 1/\text{th} \beta_{5z}s_5;$$

$$L_2 = \text{tg} \beta_{2z}s_2/2; \quad L_3 = \text{th} \beta_{3z}s_3;$$

$$L_4 = \text{th} \beta_{4z}s_4.$$

Система характеристических уравнений (10) МДС (см. рис. 2, а), полученная на основе теории цепей, полностью идентична

системе характеристических уравнений [2], полученной электродинамическим методом.

### Заключение

Предложена простая инженерная методика расчета резонансной частоты МДС. Ее можно применить к МДС с составным термокомпенсационным ДР, а также к МДС, резонансная частота ДР которых перестраивается диэлектрическим штырем в сторону уменьшения. Значимое применение методики – проектирование фильтров и автогенераторных СВЧ-устройств для наземной и космической связи.

### Список литературы

1. Ильченко М. Е., Взятыйшев В. Ф., Гасанов Л. Г. и др. Диэлектрические резонаторы / Под ред. М. Е. Ильченко. М.: Радио и связь, 1989. 328 с.

2. Черный Б. С. Расчет резонансной частоты  $H_{018}$ -типа колебаний диэлектрического резонатора СВЧ в плоском волноводе // Электронная техника. Серия: Электроника СВЧ. 1982. Вып. 11. С. 30–33.

3. Плавский Л. Г., Савелькаев С. В. Анализ транзисторного генератора СВЧ с диэлектрическим резонатором // Широкополосные усилительные и генераторные устройства ВЧ и СВЧ: Межвуз. сб. науч. тр. Новосибирск, 1985. С. 145–149.

4. Плавский Л. Г., Савелькаев С. В. Транзисторный сверхвысокочастотный автогенератор с диэлектрическим резонатором // Приборы и техника эксперимента. 1989. № 1. С. 141–143.

5. Фальковский О. И. Техническая электродинамика. М.: Связь, 1978. 432 с.

Материал поступил в редколлегию 29.01.2014

S. V. Savelkaev, V. S. Ayrapetyan

### COMPUTATIONAL PROCEDURE FOR RESONANT FREQUENCY OF A MULTI-LAYER DIELECTRIC STRUCTURE ON THE BASIS OF CIRCUIT ANALYSIS

This paper introduces a computational procedure to define the resonant frequency of a multi-layer dielectric structure on the basis of circuit analysis which allows for a simplest determination of its characteristic equation system vs. electrodynamic methods.

Keywords: multi-layer dielectric structure, resonant frequency, characteristic equation system.